

Próg Fredericksza w ciekłym kryształach nematycznym

Michał Łukomski

Styczeń 2021

Symulacje zostały przeprowadzone na sieci o rozmiarze L^2 , gdzie $L = 20$. ξ^* oraz E^* zostały wyrażone w jednostkach zredukowanych $\xi^* = \xi/(k_B T)$, $E^* = E/(k_B T)$.

Symulacje startowano z konfiguracją uporządkowaną - wszystkie kąty zostały ustawione na 0° .

Sieci zostały poddane ewolucji przez $30000 MCS$, ($1 MCS$ = iteracyjne przejście po wszystkich węzłach układu) a następnie przez kolejne $200000 MCS$ podczas których n_{eff} (a w jednym przejściu także $\langle \cos^2(\phi) \rangle(z)$) było próbkowane co $100 MCS$. Otrzymano więc próbki o rozmiarach 2000, z których obliczono średnie. Wyniki przedstawiono na wykresach.

Kąty mogły przyjmować całkowite wartości z przedziału $[-90^\circ : 90^\circ]$.

Zakres natężenia zewnętrznego (pionowego) pola użyty w symulacjach to

- $[0 : 3.5]$ ze skokiem $\Delta E^* = 0.001$.

Inne parametry wykorzystane we wszystkich symulacjach to

- $\xi^* = 20$
- $n_0 = 1.5$
- $n_e = 1.7$
- $\Delta\phi = 10^\circ$

Próg Fredericksza odczytano z wykresu jako $E_F^* = 0.73$

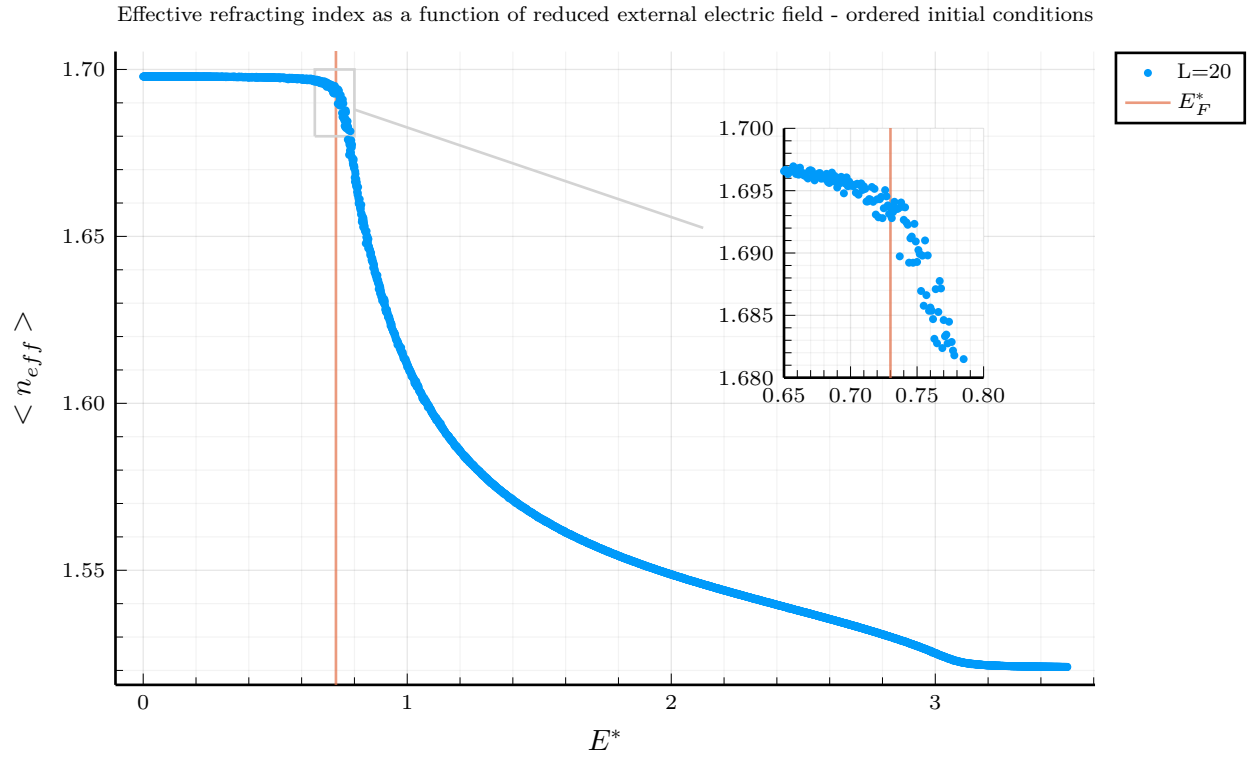


Figure 1: Zależność średniej wartości efektywnego współczynnika załamania światła w komórce NLC od natężenia zewnętrznego pola elektrycznego w jednostkach zredukowanych. Próg Fredericksza odczytano jako $E_F^* = 0.73$ i zaznaczono na wykresie.

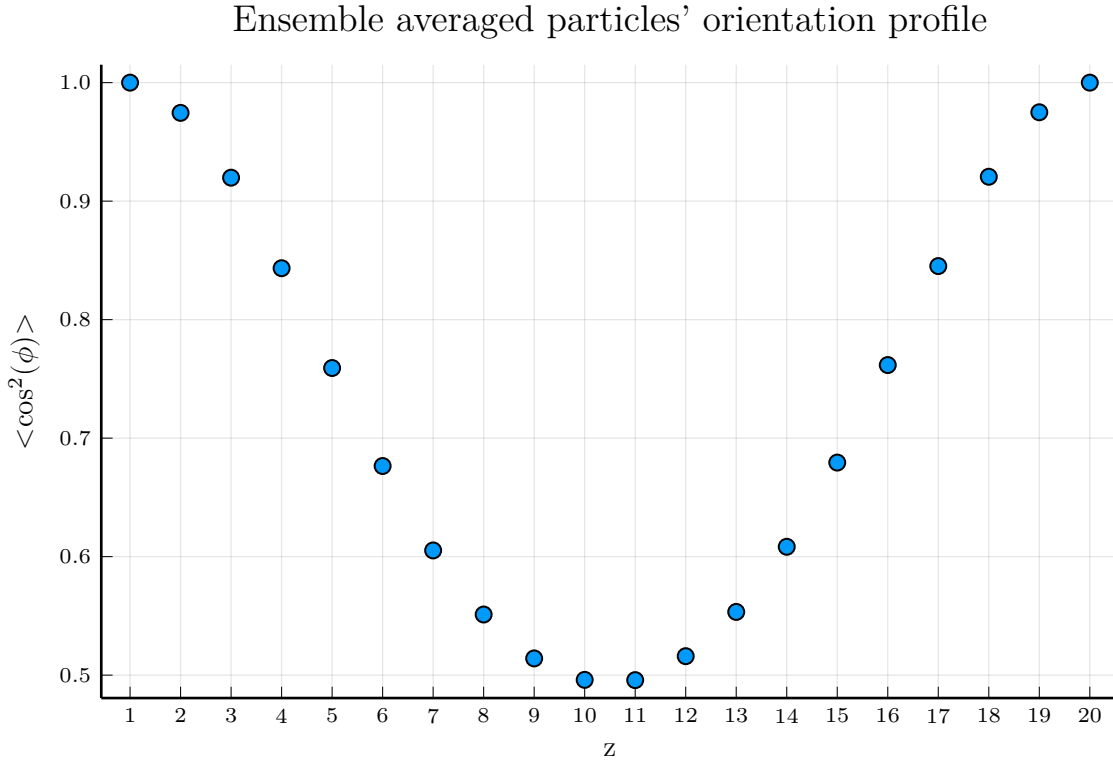


Figure 2: Profil orientacji cząsteczek NLC (uśredniony po zespole statystycznym profil $\langle \cos^2(\phi) \rangle(z)$, gdzie z jest numerem rzędu) dla wartości natężenia pola $E^* = 1.2E_F^* = 0.876$

Kod programu - Julia

```
1 using Statistics
2 using OffsetArrays
3 using JLD2
4 using Plots
5 pgfplotsx()
6
7 const L = 20
8 MCS = 230_000
9
10 const Δφ = 10 #°
11 # const T = 2
12 const ξ = 20.0
13 const n0 = 1.5
14 const ne = 1.7
15
16 const P_func(β) = (3 * cosd(β)^2 - 1)/2
17 const P2 = OffsetArray(map(P_func, -180:180), -180:180)
18 In = collect(2:L+1)
19 Ip = collect(0:L-1)
20 In[20] = 1
21 Ip[1] = L
22
23 const randoms_Δφ = Int16.(cat(-Δφ÷2:-1, 1:Δφ÷2, dims=1))
24
25 n_eff(φ::Number, n0 = n0, ne = ne::Float64) = n0 * ne / √(n0^2*cosd(φ)^2 + ne^2*sind(φ)^2)
26
27 function nlc(E::Number, MCS::Integer=230_000, L::Integer=20, skipfirst::Integer=30_000, probe_every::Integer=100,
    ↪ P2=P2, In=In, Ip=Ip, ξ=ξ, randoms_Δφ=randoms_Δφ)::Float64
28     #ordered initial conditions - all φ=0°
29     φ = zeros(Int16,L,L)
30     n_eff_sum = 0.0
31
32     for k ∈ 1:MCS
33         for j ∈ 1:L, i ∈ 2:L-1
34             #metropolis algorithm
35             @inbounds φ_new::Int16 = φ[i,j] + rand(randoms_Δφ)
36             φ_new > 90 && (φ_new -= 180) # a && b => if a then run b
37             φ_new < -90 && (φ_new += 180)
38
39             @inbounds U_old::Float64 = -ξ * (P2[φ[i,j] - φ[In[i],j]] + P2[φ[i,j] - φ[Ip[i],j]] + P2[φ[i,j] -
    ↪ φ[i,In[j]]] + P2[φ[i,j] - φ[i,Ip[j]]]) - E^2 * P2[90-φ[i,j]]
40
41             @inbounds U_new::Float64 = -ξ * (P2[φ_new - φ[In[i],j]] + P2[φ_new - φ[Ip[i],j]] + P2[φ_new -
    ↪ φ[i,In[j]]] + P2[φ_new - φ[i,Ip[j]]]) - E^2 * P2[90-φ_new]
42
43             ΔU::Float64 = U_new - U_old
44             if ΔU < 0 rand() ≤ exp(-ΔU)
45                 @inbounds φ[i,j] = φ_new
46             end
47         end
48         if k > skipfirst && k%probe_every == 0
49             n_eff_sum += sum(n_eff, φ)/L^2
50         end
51     end
52     return n_eff_sum / ((MCS-skipfirst)÷probe_every) #return mean <n_eff>
53     #return φ
```

```

54 end
55
56 function nlc_cos2_profile(E::Number, MCS::Integer=230_000, L::Integer=20, skipfirst::Integer=30_000,
    ↪ probe_every::Integer=100, P2=P2, In=In, Ip=Ip, ξ=ξ, randoms_Δφ=randoms_Δφ)::Array{Float64}
57     #ordered initial conditions - all φ=0°
58     φ = zeros(Int16,L,L)
59     cos2_profile = zeros(L)
60
61     for k ∈ 1:MCS
62         for j ∈ 1:L, i ∈ 2:L-1
63             #metropolis algorithm
64             @inbounds φ_new::Int16 = φ[i,j] + rand(randoms_Δφ)
65             φ_new > 90 && (φ_new -= 180) # a && b => if a then run b
66             φ_new < -90 && (φ_new += 180)
67
68             @inbounds U_old::Float64 = -ξ * (P2[φ[i,j] - φ[In[i],j]] + P2[φ[i,j] - φ[Ip[i],j]] + P2[φ[i,j] -
    ↪ φ[i,In[j]]] + P2[φ[i,j] - φ[i,Ip[j]]]) - E^2 * P2[90-φ[i,j]]
69
70             @inbounds U_new::Float64 = -ξ * (P2[φ_new - φ[In[i],j]] + P2[φ_new - φ[Ip[i],j]] + P2[φ_new -
    ↪ φ[i,In[j]]] + P2[φ_new - φ[i,Ip[j]]]) - E^2 * P2[90-φ_new]
71
72             ΔU::Float64 = U_new - U_old
73             if ΔU < 0 rand() ≤ exp(-ΔU)
74                 @inbounds φ[i,j] = φ_new
75             end
76         end
77         if k > skipfirst && k%probe_every == 0
78             cos2_profile += mean(x -> cosd(x)^2, φ, dims=2)
79         end
80     end
81     return cos2_profile ./ ((MCS-skipfirst)÷probe_every)
82 end
83
84 function run_nlc(Es)
85     result = Dict{Float64,Float64}{}
86     Threads.@threads for E ∈ Es
87         result[E] = @time nlc(E)
88     end
89     return result
90 end
91
92 Es = 0:0.001:3.5
93
94 result_ret = @time run_nlc(Es)
95 @save "result_002.jld2" result_ret
96 @load "result_002.jld2" result_ret
97
98 # serialize("result_002.jls", result)
99
100 scatter(result_ret, markershape=:auto, markersize=2, xlabel="\$E*\$", ylabel="\$n_{eff}\$",
    title="Effective refracting index as a function of reduced external electric field - ordered initial
    ↪ conditions",
    titlefontsize=8, markerstrokealpha=0.0, label="L=20", legend=true)
103 lens!([0.65,0.8],[1.68,1.7], minorticks=5, minorgrid=true, legend=false, inset = (1, bbox(0.6, 0.1, 0.3, 0.5)))
104 savefig("neff_E.tex")
105
106 #@save "result.jld2" result_ret
107 #@load "result.jld2"
108

```

```

109 using Profile
110 using StatProfilerHTML
111
112 # Profile.clear()
113 # result_ret = @@profilehtml run_nlc(Es)
114
115
116 cos2_profile = nlc_cos2_profile(1.2*0.73)
117 scatter(cos2_profile, grid=:both, xticks=1:20, xlabel="z", ylabel=" $\langle \cos^2(\phi) \rangle$ ", legend=:none,
118         title="Ensemble averaged particles' orientation profile")
119 savefig("cos2_profile.tex")

```
